

Разработка структурной схемы запросно-ответной системы «свой-чужой» для спутникового низкоорбитального интернета

*И.А. Калмыков, Д.В. Духовный, М.И. Калмыков, Н.К. Чистоусов,
Т.А. Пелешенко*

Северо-Кавказский федеральный университет, Ставрополь

Аннотация: Перспективность построения спутникового интернета на основе низкоорбитальной группировки спутников (НОГС) обусловлена тем, что только она позволяет обеспечить устойчивую и достоверную связь в любой точке планеты. Поэтому технология спутникового промышленного интернета вещей ПоТ получила широкое распространение в нефтегазовой индустрии, многие объекты которой располагаются в районах Крайнего Севера. Однако, при использовании спутникового низкоорбитального интернета (СНИ), возникают новые угрозы и атаки на него. Среди атак на НОГС особое место занимают попытки навязать абонентам СНИ неавторизованный контент. Предотвратить данную ситуацию можно с помощью системы опознавания спутника. Для эффективной работы запросно-ответной системы «свой-чужой», для НОГС был разработан имитостойкий протокол аутентификации с нулевым разглашением знаний. Данное свойство было достигнуто за счет сокращения времени аутентификации благодаря использованию модулярных кодов классов вычетов (МККВ). Применение параллельных кодов МККВ привело к изменению способа опознавания спутника, что влечет за собой пересмотр принципов построения запросно-ответной системы. В этом случае создание структурной схемы системы «свой-чужой», функционирующей в МККВ для спутникового низкоорбитального интернета – актуальная задача.

Ключевые слова: имитостойкость, протокол аутентификации с нулевым разглашением знаний, модулярные коды классов вычетов, структурная схема системы опознавания низкоорбитальных спутников.

Введение

В последние годы наблюдается резкое расширение областей применения спутникового интернета вещей IoT. Без данной технологии невозможно обеспечить научно-технические прорывы практически во всех областях современного общества. Наряду с потребительским сегментом интернета вещей бурно развивается сегмент промышленного IoT (ПоТ) [1,2]. Увеличить область использования ПоТ позволил созданный недавно спутниковый низкоорбитальный интернет (далее СНИ). Так как в спутниковом интернете используется низкоорбитальная группировка

спутников (далее НОГС), это позволяет применять технологию ПоТ практически в любой точке Земли, включая районы побережья Северного Ледовитого океана [3,4]. Однако переход к СНИ приводит к резкому росту проблем, связанных с обеспечением кибербезопасности ПоТ. Это вызвано тем, что канал передачи данных СНИ имеет достаточно большую протяженность, что влечет за собой увеличения числа угроз и атак, реализация которых может не только нарушить работу ПоТ, но и даже вызвать экологическую катастрофу. Чтобы обеспечить эффективное решение выявленной проблемы в НОГС, было предложено использовать представленный в [5] протокол аутентификации космических аппаратов (далее КА). Для обеспечения более высокого уровня его имитостойкости предложили использовать модулярные коды классов вычетов (далее МККВ). При использовании данного протокола у спутника-нарушителя уменьшалось время на подбор правильного ответа на запрос проверяющего. В результате этого снижалась вероятность навязывания неавторизованного контента абонентам СНИ.

Однако использование новой алгебраической системы «кольцо» привело к модификации способа аутентификации, представленного в [5], что влечет за собой изменение структуры системы «свой-чужой». Поэтому целью статьи является разработка структурной схемы системы опознавания спутника, использующей протокол аутентификации с нулевым разглашением знаний, реализованный в МККВ. Применение в данной системе параллельных кодов класса вычетов позволит снизить вероятность навязывания неавторизованного контента абонентам СНИ за счет уменьшения времени для подбора правильного ответа на запрос, поступивший от проверяющего.

Материал и методы исследования

Использование протоколов с нулевым разглашением знаний в системах аутентификации обусловлено тем, что они имеют высокую криптографическую стойкость, которая достигается без применения шифрования [6]. Поэтому для аутентификации низкоорбитальных спутников был разработан метод, который позволял проводить опознавание космических аппаратов на основе протокола с нулевым разглашением знаний. Так как аутентификация осуществлялась без использования ключей, то в данный протокол были введены два секретных параметра. Это сеансовый ключ и число, которое позволяло определить повторное использование этого ключа при аутентификации. Кроме того, чтобы усложнить процедуру подбора правильного ответа на запрос проверяющего, все вычисления выполнялись по модулю большого числа Q .

Однако при этом возникала следующая проблема. Увеличение разрядности числа Q приводит к тому, что возрастают временные затраты необходимые на вычисление статуса КА. В результате этого, у спутника-злоумышленника расширяется временной интервал, в течение которого он может подбирать правильный ответ на полученный запрос. А это, в свою очередь, увеличивает вероятность пропуска спутника-злоумышленника системой «свой-чужой». Для устранения данной проблемы в работе [7] был разработан протокол аутентификации, который был реализован в МККВ. Применение параллельного кода позволило уменьшить время аутентификации, что способствовало снижению вероятности пропуска спутника-злоумышленника.

1. Реализация протокола аутентификации с нулевым разглашением знаний в МККВ

Принципы построения модулярных кодов классов вычетов определяются из самого названия кода. В МККВ используются модули, в

качестве которых могут быть выбраны или целые числа p_1, p_2, \dots, p_n [8,9] или неприводимые многочлены $p_1(x), p_2(x), \dots, p_n(x)$ [10,11]. Так как МККВ являются арифметическими кодами, то в них операции сложения, вычитания и умножения выполняются по модулям, которые являются основаниями кода. В статье будут использованы модулярные коды классов вычетов, у которых основаниями являются простые числа p_1, p_2, \dots, p_n .

Рассмотрим принципы построения МККВ. Для их создания выбирают основания, для которых наибольший общий делитель (далее НОД) равен единице. После этого основания выставляются в следующем порядке:

$$p_1 < p_2 < \dots < p_n, \quad (1)$$

где $\text{НОД}(p_i, p_j) = 1$,
 $i \neq j$

Произведение выбранных оснований определяют рабочий диапазон кода МККВ:

$$P_n = \prod_{i=1}^n p_i. \quad (2)$$

Чтобы получить кодовую комбинацию МККВ надо выбрать целое число K , значение которого не превышает рабочий диапазон, а затем определить остатки от его деления на основания кода. В результате получаем кортеж остатков:

$$K = (K_1, K_2, \dots, K_{n-1}, K_n), \quad (3)$$

где $K < P_n$; $K_i \equiv K \pmod{p_i}$; $i = 1, \dots, n$.

Так как коды МККВ являются арифметическими, то с помощью их можно эффективно выполнять модульные операции, к которым относятся сложение, вычитание и умножение. В этом случае для двух чисел K и Z справедливо:

$$K + Z = \left| K_1 + Z_1 \right|_{p_1}^+, \left| K_2 + Z_2 \right|_{p_2}^+, \dots, \left| K_n + Z_n \right|_{p_n}^+, \quad (4)$$

$$K - Z = |K_1 - Z_1|_{p_1}^+, |K_2 - Z_2|_{p_2}^+, \dots, |K_n - Z_n|_{p_n}^+, \quad (5)$$

$$K \cdot Z = |K_1 \cdot Z_1|_{p_1}^+, |K_2 \cdot Z_2|_{p_2}^+, \dots, |K_n \cdot Z_n|_{p_n}^+, \quad (6)$$

где $Z < P_n$; $Z_i \equiv Z \pmod{p_i}$; $i = 1, \dots, n$.

Выражения (4) – (6) наглядно показывают достоинства МККВ. Во-первых, данные операции выполняются параллельно. Во-вторых, между основаниями МККВ при вычислениях отсутствуют переносы. В-третьих, операнды K_i, Z_i , где $i = 1, \dots, n$, имеют меньшую разрядность, чем целые числа K и Z . Обобщая, можно сделать вывод о том, что коды МККВ поддерживают параллельные вычисления. При этом существует возможность заменить выполнение модульных операций на выборку результатов из LUT-таблицы благодаря малоразрядности операндов. Таким образом, используя МККВ, можно повысить скорость выполнения аддитивных и мультипликативных операций.

Кроме того МККВ позволят обеспечить криптографическую стойкость не ниже чем у одномодульных протоколов аутентификации. Для этого необходимо так подобрать основания, чтобы было справедливо:

$$Q < P_n. \quad (7)$$

Тогда, согласно изоморфизму Китайской теоремы об остатках вычисления, которые выполнялись по большому модулю Q , появляется возможность реализации в модулярных кодах.

Данные гипотезы были положены в основу разработанного протокола аутентификации, который представляет собой интеграцию теории аутентификации и теории построения МККВ.

На предварительном этапе протокола аутентификации с нулевым разглашением, реализованным в МККВ [7], доверенный центр (далее ДЦ) генерирует секретные параметры, который затем поступают в запросчик и ответчик системы опознавания спутника. Рассмотрим данный этап.

Предварительный этап протокола

1. Доверенный центр осуществляет выбор оснований модулярного кода классов вычетов, в качестве которых выступают простые числа. Выбор оснований определяется разрядностью сигнала ответчика. В протоколе [7] сигнал ответчика, имея длину L бит, состоит из пяти частей. Это истинный дайджест, искаженный дайджест спутника, а также три ответа на поставленный вопрос, вычисленных по модулю простого числа Q . Далее для каждого i -го основания МККВ определяется порождающий элемент u_i .

$$\text{ДЦ} : P_n = \prod_{i=1}^n p_i, \quad (8)$$

$$\text{ДЦ} : \log_2 P_n > \log_2 Q, \quad (9)$$

где $p_1 < p_2 < \dots < p_n$; P_n – рабочий диапазон МККВ; $\log_2 Q = L/5$; L – разрядность сигнала ответчика.

2. Доверенный центр генерирует секретные параметры. Это G – секретный ключ спутника, случайные числа V и S , где:

$$\text{ДЦ} : \{G, V, S\} < P_n - 2. \quad (10)$$

С помощью этих чисел на борту КА будут генерироваться сеансовые ключи $V(k)$ спутника, а также $S(k)$ – числа, с помощью которых в центре принятия решения смогут установить факт повторного использования сеансового ключа. Секретные параметры $\{G, V, S\}$ записываются в память ответчика. Ответчик должен располагаться на борту КА.

Рабочий этап разработанного протокола в МККВ

Рабочую часть представленного в работе [7] протокола можно разделить на две части. Первая часть данного протокола состоит в следующем:

1. На первом этапе ответчик производит вычисление двух параметров протокола $V(k), S(k)$. Для решения данной задачи можно использовать псевдослучайную функцию [12]. Затем параметры представляются в МККВ

$$G = (G_1, G_2, \dots, G_n), \quad (11)$$

$$V(k) = (V_1(k), V_2(k), \dots, V_n(k)), \quad (12)$$

$$S(k) = (S_1(k), S_2(k), \dots, S_n(k)), \quad (13)$$

где $G_i = G \bmod p_i$; $V_i(k) = V(k) \bmod p_i$; $S_i(k) = S(k) \bmod p_i$; $k = 1, 2, 3, \dots$, – порядковый номер сеанса аутентификации.

2. Ответчик, используя секретные параметры, осуществляет вычисление «истинного» дайджеста КА для k -ого сеанса аутентификации:

$$M_i(k) = (u_i^{G_i} u_i^{V_i(k)} u_i^{S_i(k)}) \bmod p_i, \quad (14)$$

где u_i – порождающий элемент мультипликативной группы p_i ; $i = 1, \dots, n$.

Так как вычисления в МККВ происходят параллельно по основаниям кода, то порождающие элементы могут не совпадать.

3. Ответчик, прежде чем вычислит «искаженный» статус КА, приступает к «искажению» секретных параметров. Для этого он находит три случайных числа $\Delta G(k)$, $\Delta V(k)$, $\Delta S(k)$, для которых справедливо:

$$\{\Delta G(k), \Delta V(k), \Delta S(k)\} < \prod_{i=1}^n \varphi(p_i) - 1, \quad (15)$$

где $\varphi(p_i)$ – функция Эйлера для числа p_i ; $i = 1, \dots, n$.

Затем он вычисляет «искаженные» секретные параметры:

$$\begin{aligned} G_i^*(k) &= G_i(k) + \Delta G_i(k) \bmod \varphi(p_i), \\ V_i^*(k) &= V_i(k) + \Delta V_i(k) \bmod \varphi(p_i), \\ S_i^*(k) &= S_i(k) + \Delta S_i(k) \bmod \varphi(p_i), \end{aligned} \quad (16)$$

где $\Delta G_i(k) \equiv \Delta G(k) \bmod p_i$; $\Delta V_i(k) \equiv \Delta V(k) \bmod p_i$; $\Delta S_i(k) \equiv \Delta S(k) \bmod p_i$; $i = 1, \dots, n$.

4. Ответчик, используя «искаженные» секретные параметры, приступает к вычислению «искаженного» дайджеста КА:

$$M_i^*(k) = (u_i^{G_i^*} u_i^{V_i^*(k)} u_i^{S_i^*(k)}) \bmod p_i, \quad (17)$$

Рассмотрим вторую часть рабочего этапа протокола, на котором выполняется процедура аутентификации спутника.

5. После того, как спутник появится в зоне видимости запросчика, последний генерирует кодовую комбинацию МККВ:

$$B(k) = (B_1(k), B_2(k), \dots, B_n(k)), \quad (18)$$

где $B_i(k) < p_i$; $i = 1, \dots, n$.

Данная кодовая комбинация является вопросом, который задает запросчик. Вопрос передается ответчику.

8. Ответчик, получив вопрос $B(k) = (B_1(k), B_2(k), \dots, B_n(k))$, приступает к вычислению трех ответов:

$$W_i^1(k) = (G_i^*(k) - B_i(k)G_i) \bmod \varphi(p_i), \quad (19)$$

$$W_i^2(k) = (V_i^*(k) - B_i(k)V_i(k)) \bmod \varphi(p_i), \quad (20)$$

$$W_i^3(k) = (E_i^*(k) - B_i(k)E_i(k)) \bmod \varphi(p_i), \quad (21)$$

где $i = 1, \dots, n$.

Ответчик передает запросчику свой ответный сигнал:

$$\{(M_i(k)) \| (M_i^*(k)) \| (W_i^1(k)) \| (W_i^2(k)) \| (W_i^3(k))\}, \quad (22)$$

где $i = 1, \dots, n$.

9. После получения сигнала ответчика запросчик приступает к его проверке:

$$\begin{aligned} X_1(k) &= (M_1(k))^{B_1(k)} u^{W_1^1(k)} u^{W_1^2(k)} u^{W_1^3(k)} \bmod p_1, \\ &\vdots \end{aligned} \quad (23)$$

$$X_n(k) = (M_n(k))^{B_n(k)} u^{W_n^1(k)} u^{W_n^2(k)} u^{W_n^3(k)} \bmod p_n.$$

Результат выполнения (23) запросчик сравнивает с «искаженным» дайджестом КА. Если справедливо равенство:

$$(X_1(k), X_2(k), \dots, X_n(k)) = (M_1^*(k), M_2^*(k), \dots, M_n^*(k)), \quad (24)$$

то КА аутентифицируется как «свой», и ему предоставляется сеанс связи с абонентом СНИ.

Результаты исследования и их обсуждение

На основании представленного выше протокола аутентификации, выполняемого в МККВ, была создана структурная схема системы «свой-чужой», позволяющая провести аутентификацию космических аппаратов спутникового низкоорбитального интернета. На рисунке 1 показан блок ответчика, реализующий первую часть рабочего этапа протокола аутентификации. Структурная схема запросчика системы опознавания представлена на рисунке 2. На рисунке 3 показан блок ответчика, реализующий вторую часть рабочего этапа протокола аутентификации. Рассмотрим работу разработанной структурной схемы системы «свой-чужой» для спутникового низкоорбитального интернета. Пусть выбраны основания кода СОК $p_1 = 17$, $p_2 = 19$, $p_3 = 31$. В качестве порождающего элемента этих оснований выберем число:

$$u_1 = u_2 = u_3 = 3.$$

Диапазон МККВ $P_{\text{раб}} = 10013$. Перед запуском спутника в блок хранения и генерации секретных параметров (БХГ СП) будут записаны G – секретный ключ спутника, случайные числа V и S , удовлетворяющие условию (10). В данном блоке хранения и генерации секретных параметров с помощью чисел V и S будут получены сеансовые ключи $V(k)$ спутника, а также $S(k)$ – число, с помощью которого в центре принятия решения смогут установить факт повторного использования сеансового ключа.

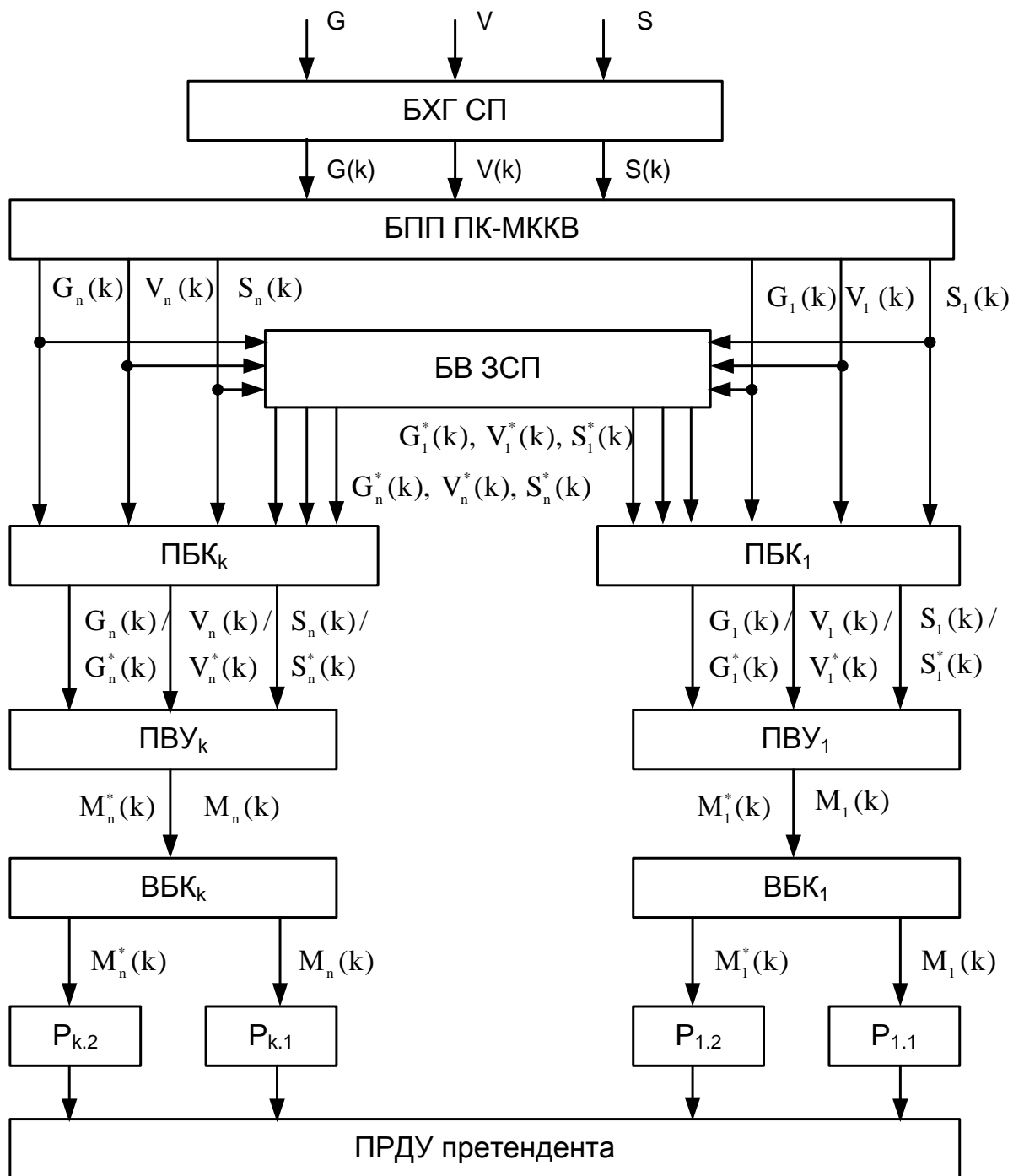


Рисунок 1. – Блок ответчика, реализующий первую часть рабочего этапа протокола аутентификации

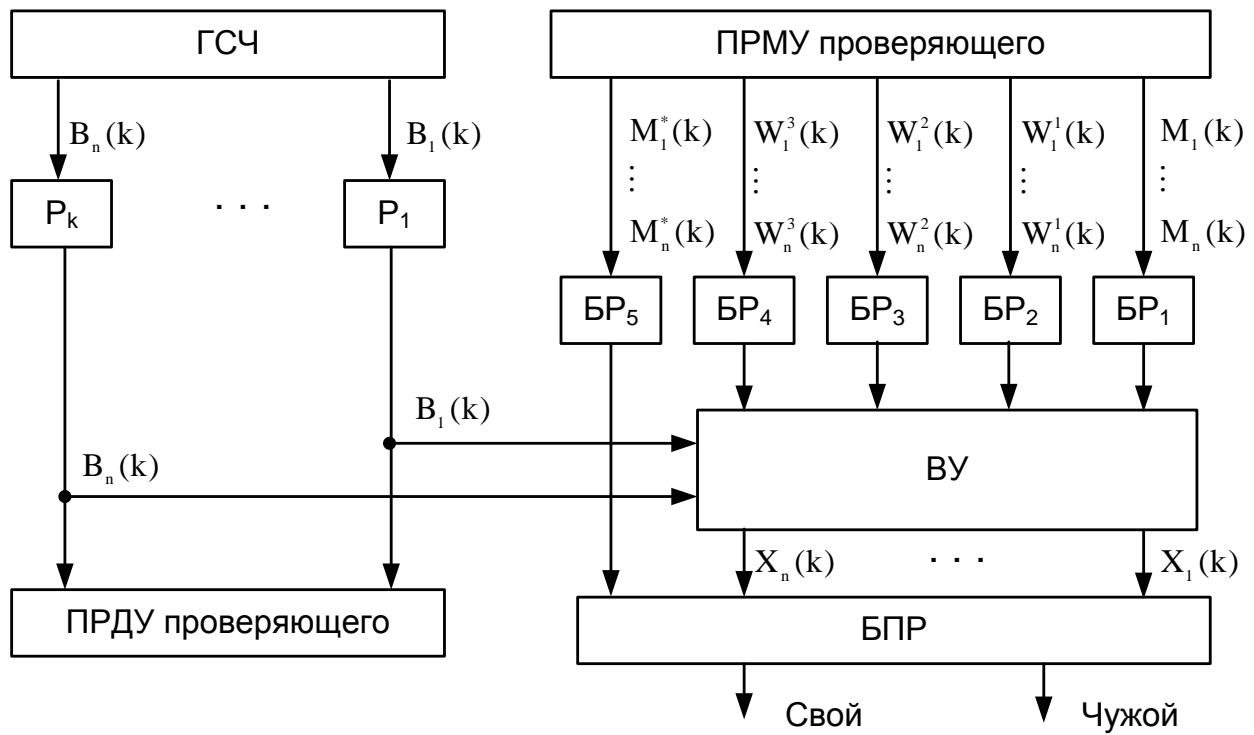


Рисунок 2. – Структурная схема запросчика системы опознавания

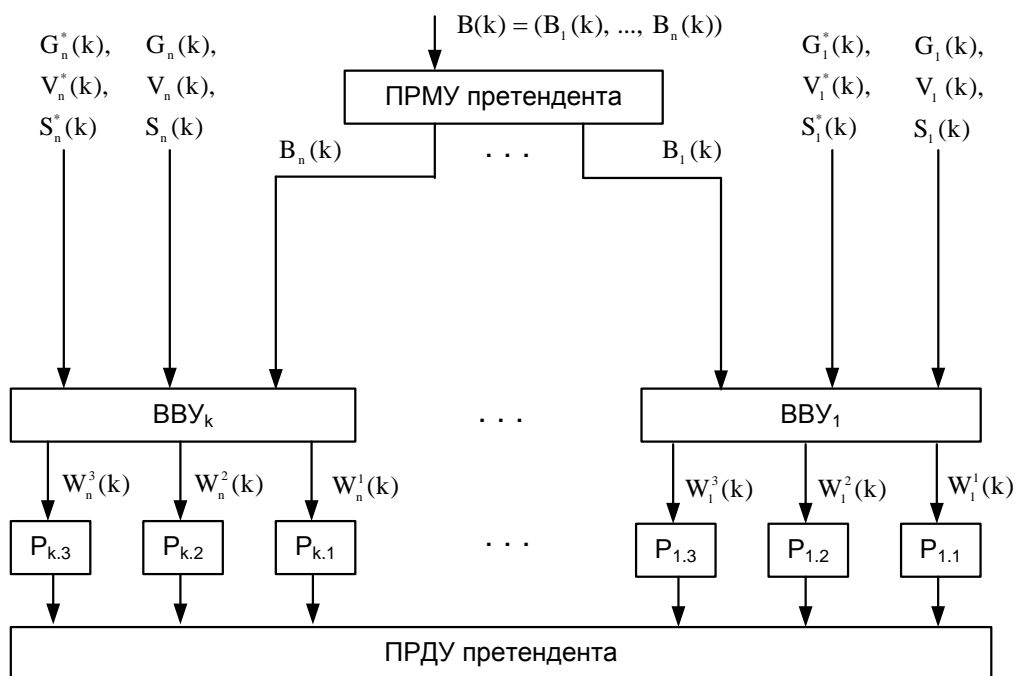


Рисунок 3. – Блок ответчика, реализующий вторую часть рабочего этапа протокола аутентификации

Пусть с входа БХГ СП снимаются секретные параметры $G(k) = 2000$, $V(k) = 1001$, $S(k) = 561$, которые попадают на вход блока прямого преобразования (БПП), где из позиционного кода (ПК) преобразуются в МККВ. В результате получают кодовые комбинации МККВ:

$$G(k) = (11, 5, 16), V(k) = (15, 13, 9), S(k) = (0, 10, 3).$$

Данные комбинации подаются на соответствующие первые блоки коммутации (ПБК₁ – ПБК_n). С выходов данных блоков комбинации МККВ поступают первые вычислительные устройства (ПВУ₁ – ПВУ_n). С помощью них производится вычисление истинного дайджеста спутника. Для этого используется выражения (14).

$$M_1(k) = (u_1^{G_1(k)} u_1^{V_1(k)} u_1^{S_1(k)}) \bmod 17 = |3^{11} \cdot 3^{15} \cdot 3^0|_{17}^+ = |3^{10}|_{17}^+ = 8,$$

$$M_2(k) = (u_2^{G_2(k)} u_2^{V_2(k)} u_2^{S_2(k)}) \bmod 19 = |3^5 \cdot 3^{13} \cdot 3^{10}|_{19}^+ = |3^{10}|_{19}^+ = 16,$$

$$M_3(k) = (u_3^{G_3(k)} u_3^{V_3(k)} u_3^{S_3(k)}) \bmod 31 = |3^{16} \cdot 3^9 \cdot 3^3|_{31}^+ = |3^{28}|_{31}^+ = 7.$$

Полученные результаты $M_1(k) = 8$, $M_2(k) = 16$, $M_3(k) = 7$ через вторые блоки коммутации (ВБК₁ – ВБК_n) поступают для хранения в регистры (Р_{1.1} – Р_{n.1}). Для того, чтобы получить зашумленный дайджест, кодовые комбинации (25) подаются на входы блока вычисления зашумленных секретных параметров (БВЗСП). Пусть в данном блоке происходит выбор случайных чисел $\Delta G(k) = 438$, $\Delta V(k) = 529$, $\Delta S(k) = 1494$, удовлетворяющих (15). Затем данные числа представляются в модулярном коде:

$$\Delta G(k) = (|438|_{16}^+, |438|_{18}^+, |438|_{30}^+) = (13, 1, 4), \Delta V(k) = (|529|_{16}^+, |529|_{18}^+, |429|_{30}^+) = (1, 7, 19),$$

$$\Delta S(k) = (|1494|_{16}^+, |1494|_{18}^+, |1494|_{30}^+) = (15, 12, 6).$$

А затем производится «зашумление» секретных параметров согласно (16). В результате получают следующие кодовые комбинации МККВ:

$$G_1^*(k) = |11 + 13|_{16}^+ = 8, G_2^*(k) = |5 + 1|_{18}^+ = 6, G_3^*(k) = |16 + 4|_{30}^+ = 20.$$

$$V_1^*(k) = |15 + 1|_{16}^+ = 0, V_2^*(k) = |13 + 7|_{18}^+ = 2, V_3^*(k) = |9 + 19|_{30}^+ = 28.$$

$$S_1^*(k) = |0 + 15|_{16}^+ = 15, S_2^*(k) = |10 + 12|_{18}^+ = 4, S_3^*(k) = |3 + 1|_{30}^+ = 9.$$

Полученные комбинации МККВ через ПБК₁ – ПБК_n подаются на входы ПВУ₁ – ПВУ_n, с помощью которых происходит вычисление зашумленного дайджеста КА, представленного в МККВ. Для этого используется равенство (17). Получаем:

$$M_1^*(k) = (u_1^{G_1^*(k)} u_1^{V_1^*(k)} u_1^{S_1^*(k)}) \bmod 17 = |3^8 \cdot 3^0 \cdot 3^{15}|_{17}^+ = |3^7|_{17}^+ = 11.$$

$$M_2^*(k) = (u_2^{G_2^*(k)} u_2^{V_2^*(k)} u_2^{S_2^*(k)}) \bmod 19 = |3^6 \cdot 3^2 \cdot 3^4|_{19}^+ = |3^{12}|_{19}^+ = 11.$$

$$M_3^*(k) = (u_3^{G_3^*(k)} u_3^{V_3^*(k)} u_3^{S_3^*(k)}) \bmod 31 = |3^{20} \cdot 3^{28} \cdot 3^9|_{31}^+ = |3^{27}|_{31}^+ = 23.$$

Полученные результаты $M_1^*(k) = 11, M_2^*(k) = 11, M_3^*(k) = 23$ через блоки коммутации ВБК₁ – ВБК_n поступают для хранения в регистры (P_{1,2} – P_{n,2}). При генерации сигнала претендента, кодовые комбинации МККВ $M_1(k) = 8, M_2(k) = 16, M_3(k) = 7$ и $M_1^*(k) = 11, M_2^*(k) = 11, M_3^*(k) = 23$ с выходов регистров будут переданы на входы передающего устройства (ПРДУ) претендента.

Рассмотрим работу запросной части системы опознавания, функционирующей в МККВ, которая представлена на рисунке 2. Для генерации запроса, представленного в коде МККВ, используется генератор случайных чисел (ГСП). Пусть было выбрано случайное число 257, которое в коде МККВ представляется $B(k) = 257 = (2, 10, 9)$. Полученная кодовая комбинация запросного числа поступает на вход передающего устройства (ПРДУ) проверяющего. Данный запрос поступает на вход приемного устройства (ПРМУ) претендента, которое показано на рисунке 3. С выхода ПРМУ кодовая комбинация поступает на третьи входы вторых вычислительных устройств ВВУ₁ – ВВУ_n. На первый и второй входы ВВУ₁ – ВВУ_n поступают истинные и зашумленные параметры протокола. Вторые

вычислительные устройства генерируют ответы на запрос $B(k) = (2, 10, 9)$, используя выражения (19)-(21). Получаем

$$W_1^1(k) = |8 - 2 \cdot 11|_{16}^+ = 2, W_2^1(k) = |6 - 10 \cdot 5|_{18}^+ = 10, W_3^1(k) = |20 - 9 \cdot 16|_{30}^+ = 26.$$

$$W_1^2(k) = |0 - 2 \cdot 15|_{16}^+ = 2, W_2^2(k) = |2 - 10 \cdot 13|_{18}^+ = 16, W_3^2(k) = |28 - 9 \cdot 9|_{30}^+ = 7.$$

$$W_1^3(k) = |15 - 2 \cdot 0|_{16}^+ = 15, W_2^3(k) = |4 - 10 \cdot 10|_{18}^+ = 12, W_3^3(k) = |9 - 9 \cdot 3|_{30}^+ = 12.$$

Затем формируется сигнал претендента согласно (22):

$$\{(8, 16, 7), (11, 11, 23), (2, 10, 26), (2, 16, 7), (15, 12, 12)\}.$$

Этот сигнал поступает на вход передающего устройства (ПРДУ) претендента и передается в эфир. Сигнал поступает на вход приемного устройства (ПРМУ) проверяющего (см. рисунок 2), а затем записывается в блоки регистров БР₁ – БР₅. С выходов данных блоков принятые значения поступают на вход вычислительного устройства (ВУ) проверяющего. На ВУ также подается запрос $B(k) = 257 = (2, 10, 9)$, представленный в МККВ. ВУ производит проверку принятого сигнала претендента, используя (23)

$$X_1(k) = (M_1(k))^{B_1(k)} u^{W_1^1(k)} u^{W_1^2(k)} u^{W_1^3(k)} \bmod p_1 = |8^2 \cdot 3^2 \cdot 3^2 \cdot 3^{15}|_{17}^+ = |3^7|_{17}^+ = 11.$$

$$X_2(k) = (M_2(k))^{B_2(k)} u^{W_2^1(k)} u^{W_2^2(k)} u^{W_2^3(k)} \bmod p_2 = |16^{10} \cdot 3^{10} \cdot 3^{16} \cdot 3^{12}|_{19}^+ = |3^{12}|_{19}^+ = 11.$$

$$X_3(k) = (M_3(k))^{B_3(k)} u^{W_3^1(k)} u^{W_3^2(k)} u^{W_3^3(k)} \bmod p_3 = |7^9 \cdot 3^{26} \cdot 3^7 \cdot 3^{12}|_{31}^+ = |3^{27}|_{31}^+ = 23.$$

Вычисленные значения подаются на блок принятия решения (БПР). Также на БПР подается зашумленный дайджест спутника. В БПР происходит сравнение вычисленных результатов с зашумленным статусом. Так как выполняется условие (24),

$$(X_1(k), X_2(k), X_3(k)) = (M_1^*(k), M_2^*(k), M_3^*(k)) = (11, 11, 23),$$

то КА аутентифицировался как «свой», и ему предоставлен сеанс связи с абонентом СНИ

Чтоб провести оценку эффективности протокола, позволяющего провести аутентификацию с помощью МККВ [7], разработанная структурная схема системы «свой-чужой» была реализована на FPGA Kintex UltraScale (xsku025-ffva1156-1-c). Система «свой-чужой» при использовании одного модуля $Q = 20407339$ обеспечивает время выполнения протокола аутентификации спутника равное 4995 нс. Если модулярный код состоит из оснований $m_1 = 37, m_2 = 79, m_3 = 83, m_4 = 101$, то время аутентификации КА составит 1949 нс, что в 2,56 раза меньше по сравнению с [7]. Следовательно, использование разработанной структурной схемы системы «свой-чужой», функционирующей в МККВ, позволило сократить время на аутентификацию КА. Таким образом, уменьшается вероятность подбора правильного ответа на запрос проверяющего. В результате этого снижается вероятность навязывания неавторизованного контента абонентам СНИ.

Выводы

В статье представлен протокол аутентификации, обладающий минимальным временем опознавания за счет использования МККВ. На основе данного протокола с нулевым разглашением знаний была разработана структурная схема системы «свой-чужой», которая может быть использована для предотвращения навязывания неавторизованного контента абонентам СНИ. Описан состав и работа данной системы опознавания. Для оценки эффективности разработанной системы «свой-чужой» были созданы две схемотехнические модели на FPGA Kintex UltraScale (xsku025-ffva1156-1-c). Проведенные исследования показали, что использование разработанной структурной схемы системы «свой-чужой» позволяет провести аутентификацию претендента за 1949 нс, что в 2,56 раза меньше по сравнению с одномодульным протоколом, выполняемым по модулю $Q = 20407339$.



Исследование выполнено за счет гранта Российского научного фонда № 23-21-00036, rscf.ru/project/23-21-00036/.

Литература

1. What is the Internet of Things? What IoT means and how it works // Insider. – 2022 – URL: insiderintelligence.com/insights/internet-of-things-definition/ (дата обращения: 16.10.2023).
2. Khana W.Z., Rehmanb M.H. Industrial internet of things: Recent advances, enabling technologies and open challenges. Computers and Electrical Engineering, 2020, 81 106522. URL: doi.org/10.1016/j.compeleceng.2019.106522
3. Edward, J. A Techno-Economic Framework for Satellite Networks Applied to Low Earth Orbit Constellations. Assessing Starlink, OneWeb and Kuiper, IEEE Access, vol. 9, October 2021, pp 141611-141622.
4. Geng H. IoT Revolution in Oil and Gas Industry. Internet of Things and Data Analytics Handbook. New York, NY, USA: Wiley, 2017, pp. 513–520. DOI: 10.1002/9781119173601.ch31.
5. Пашинцев В.П., Ляхов А.В., Применение помехоустойчивого протокола аутентификации космического аппарата для низкоорбитальной системы спутниковой связи // Инфокоммуникационные технологии. 2015. № 2. С. 183-190.
6. Molahosseini A.S. Embedded Systems Design with Special Arithmetic and Number Systems. Springer International Publishing AG 2017 – 390 p.
7. Чистоусов Н.К., Калмыков И.А., Чипига А.Ф., Калмыкова Н.И. Разработка протоколов аутентификации низкоорбитальных космических аппаратов на основе параллельных кодов систем остаточных классов// Инженерный вестник Дона, 2021, №4. ivdon.ru/ru/magazine/archive/n4y2021/6912. (дата обращения: 16.10.2023).

8. Червяков Н.И., Коляда А.А., Ляхов П.А. Модулярная арифметика и ее приложения в инфокоммуникационных технологиях. – М.: ФИЗМАТЛИТ, 2017. – 400 с.

9. Калмыков И.А., Духовный Д.В., Калмыкова Н.И. Ортогональная обработка сигналов с использованием математических моделей целочисленных вейвлет-преобразований, реализованных в модулярных кодах классов вычетов// Инженерный вестник Дона, 2023, №3. ivdon.ru/ru/magazine/archive/n3y2023/8273 (дата обращения: 16.10.2023).

10. Емарлукова Я.В., Гиш Т.А., Дунин А.В., Гостев Д.В. Математические модели и схемные решения отказоустойчивых непозиционных вычислительных систем: коллективная монография. – Ставрополь: Изд-во СКФУ, 2016. – 216 с.

11. Kalmykov I.A., Pashintsev V.P., Tyncherov K T, Olenev A.A. Error-Correction Coding Using Polynomial Residue Number System. Applied Sciences. 2022. 12(7), 3365. URL: doi.org/10.3390/app12073365.

12. Naor M., Reingold O. Number-Theoretic Constructions of Efficient Pseudo-Random Functions . Journal of the ACM. – 2004. – Vol. 51, No. 2. – pp. 231-262.

References

1. What is the Internet of Things? What IoT means and how it works. Insider. 2022. URL: insiderintelligence.com/insights/internet-of-things-definition/.

2. Khana W.Z., Rehmanb M.H. Computers and Electrical Engineering, 2020, 81, 106522. URL: doi.org/10.1016/j.compeleceng.2019.106522.

3. Edward J. A Techno-Economic Framework for Satellite Networks Applied to Low Earth Orbit Constellations. Assessing Starlink, OneWeb and Kuiper, IEEE Access, vol. 9, October 2021, pp. 141611-141622.

4. Geng H. IoT Revolution in Oil and Gas Industry. Internet of Things and Data Analytics Handbook. New York, NY, USA: Wiley, 2017, pp. 513–520. DOI: 10.1002/9781119173601.ch31.
5. Pashintsev V.P., Lyakhov A.V. Infokommunikatsionnye tekhnologii. 2015. No. 2. pp. 183-190.
6. Molahosseini A.S. Embedded Systems Design with Special Arithmetic and Number Systems. Springer International Publishing AG 2017 – 390 p.
7. Chistousov N.K., Kalmykov I.A., Chipiga A.F., Kalmykova N.I. Inzhenernyj vestnik Dona, 2021, №4. URL: ivdon.ru/ru/magazine/archive/n4y2021/6912.
8. Chervyakov N.I., Kolyada A.A., Lyakhov P.A. Modulyarnaya arifmetika i ee prilozheniya v infokommunikatsionnykh tekhnologiyakh [Modular arithmetic and its applications in infocommunication technologies]. Moskva: FIZMATLIT, 2017. 400 p.
9. Kalmykov I.A., Dukhovny D.V. Kalmykova N.I. Inzhenernyj vestnik Dona, 2023, №3. URL: ivdon.ru/ru/magazine/archive/n3y2023/8273.
10. Emarlukova Ya.V., Gish T.A., Dunin A.V., Gostev D.V. Matematicheskiye modeli i skhemnyye resheniya otkazoustoychivykh nepozitsionnykh vychislitelnykh sistem: kollektivnaya monografiya [Mathematical models and circuit solutions of fault-tolerant non-positional computing systems: collective monograph]. Stavropol: Izd-vo SKFU, 2016. 216 p.
11. Kalmykov I.A., Pashintsev V.P., Tyncherov K T, Olenev A.A. Applied Sciences. 2022. 12(7), 3365. URL: doi.org/10.3390/app12073365.
12. Naor M., Reingold O. Journal of the ACM. 2004. Vol. 51, No. 2. pp. 231-262.